

# Karakterizacija električki aktivnih defekata u poluvodičima

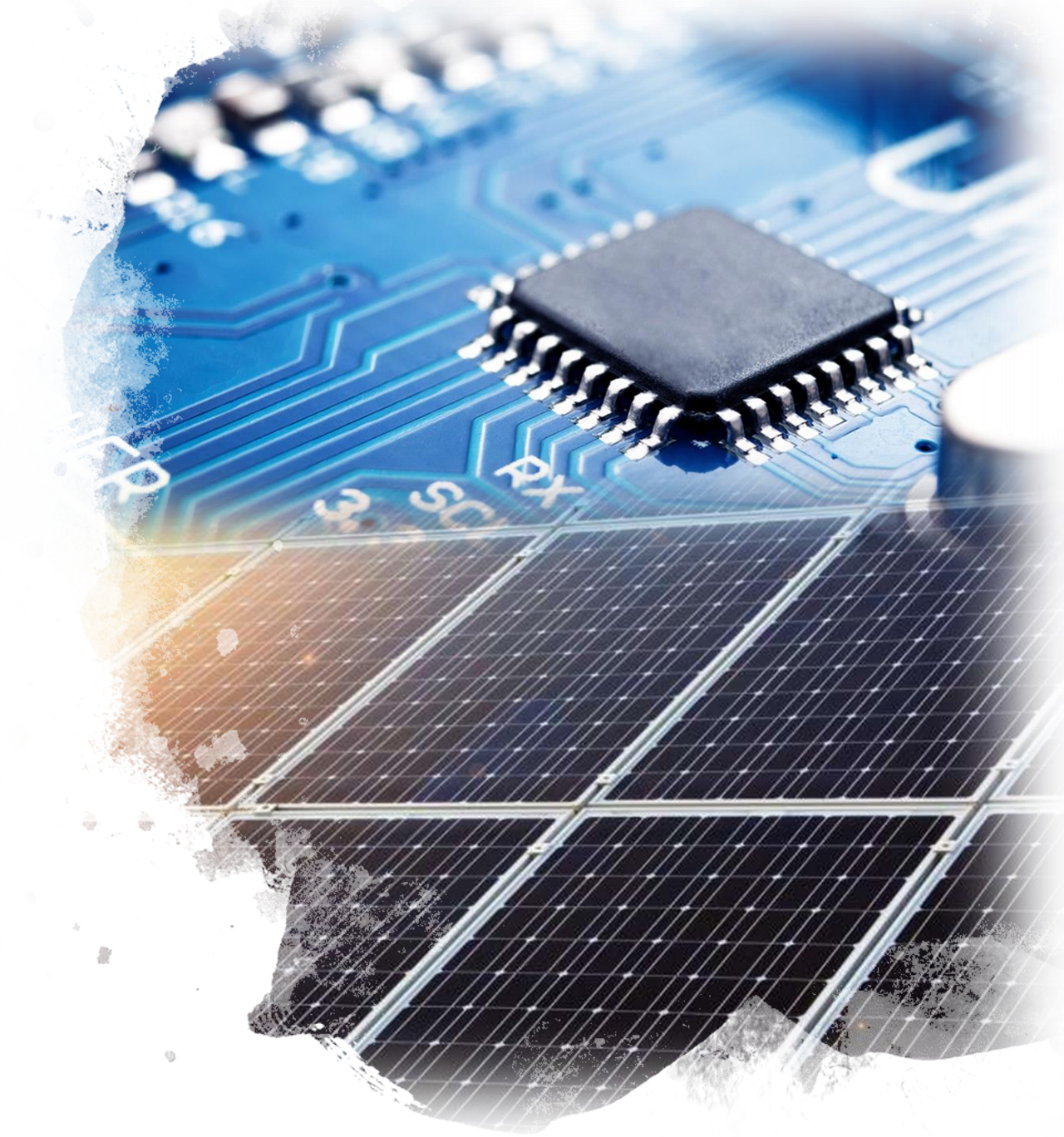
Luka Bakrač



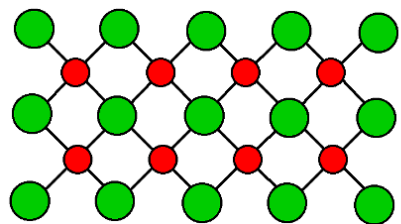
- Poluvodiči i zašto su važni
- Fizika poluvodiča i defekata
- Schottky dioda
- Tranzijentna spektroskopija
- Eksperimentalna metoda - uzorci
- Rezultati – utjecaj zračenja

# Poluvodiči

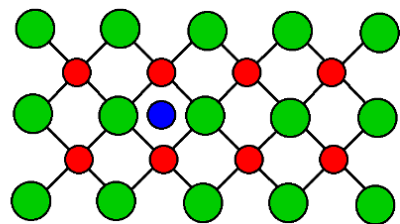
- Elektronika
- Laserske diode
- Solarne ćelije
- Detektori (zračenja)



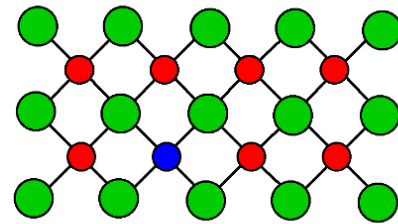
# Defekti kristalne rešetke



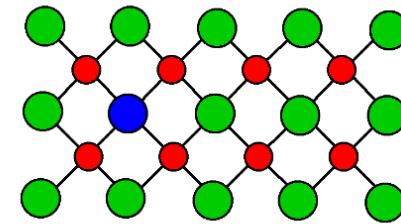
(a) perfect lattice



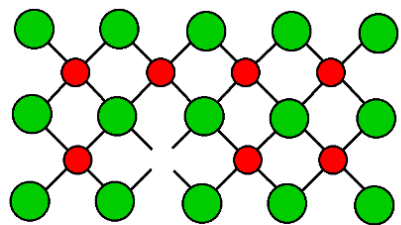
(b) interstitial impurity



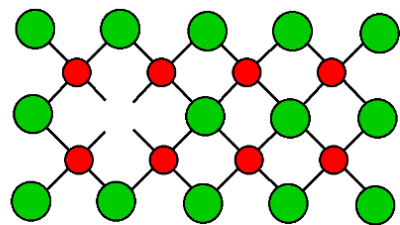
(e) substitution of cation



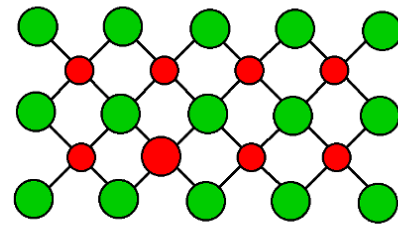
(f) substitution of anion



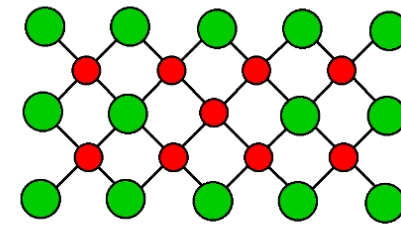
(c) cation vacancy



(d) anion vacancy



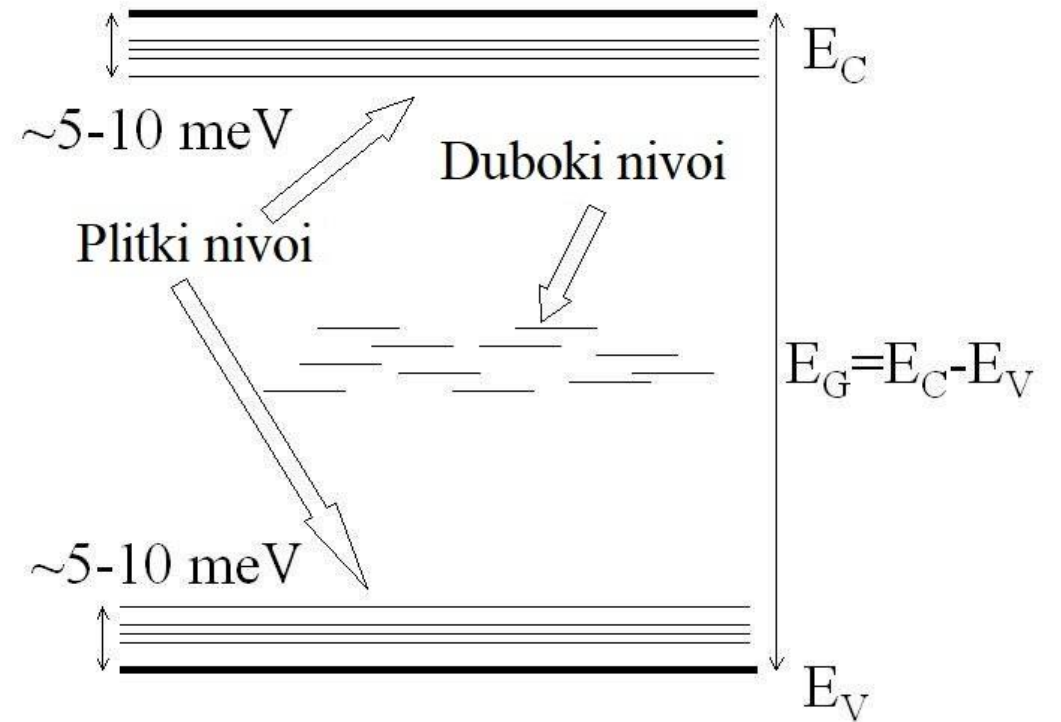
(g)  $B_A$  antisite defect



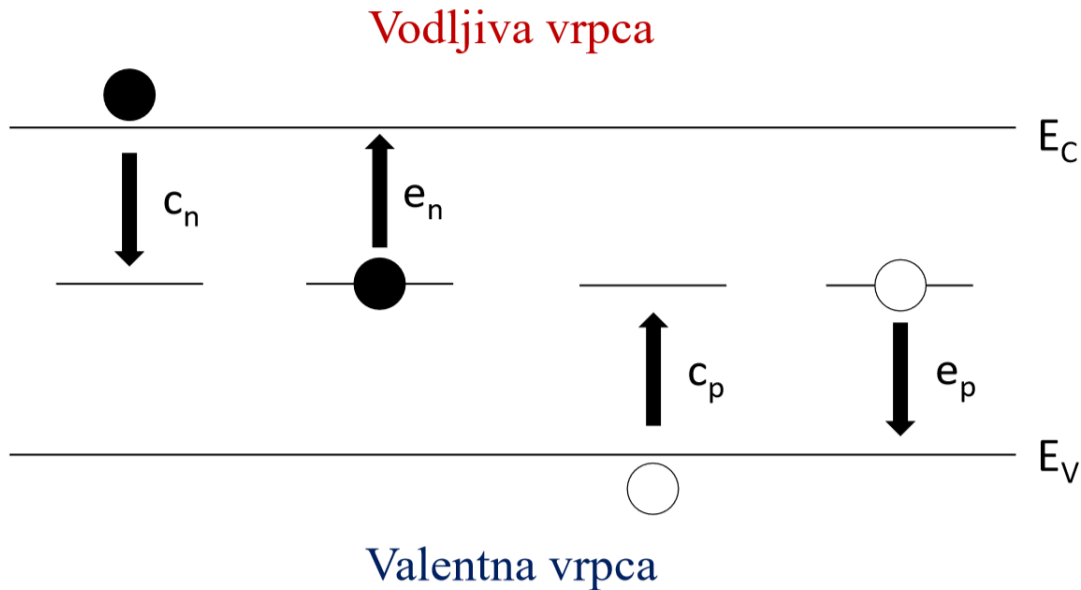
(h)  $A_B$  antisite defect

# Fizika poluvodiča

- Vodljiva i valentna vrpca
  - Periodičnost kristalne rešetke
- Nivoi unutar energetskeg procjeka
  - Narušena periodičnost rešetke



# Fizika poluvodiča

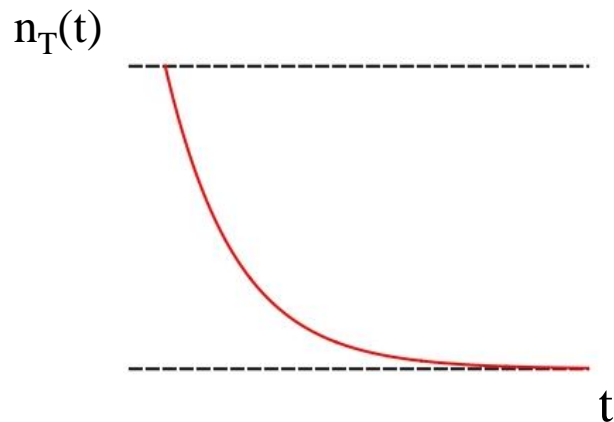


- Uhvati i emisije
  - (vjerojatnosti u jedinici vremena)
  - Elektroni ( $c_n, e_n$ )
  - Šupljine ( $c_p, e_p$ )
- Popunjenost ovisi o Fermi-Diracovoj raspodjeli

Vremenska promjena  
popunjenosti dubokog nivoa

$$\frac{dn_T}{dt} = -(e_n + c_p)n_T + (c_n + e_p)(N_T - n_T)$$

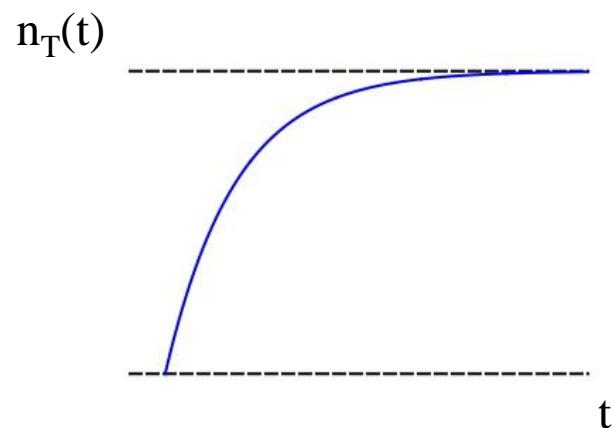
# Rješenja diferencijalne jednačbe (n-tip)



$$n_T(t) = N_T \exp(-e_n t)$$

$$e_n \gg c_n, e_p, c_p$$

Popunjenost  
dubokih nivoa



$$n_T(t) = N_T (1 - \exp(-c_n t))$$

$$c_n \gg e_n, e_p, c_p$$

# Temperaturna ovisnost emisije elektrona

$$\ln\left(\frac{e_n}{T^2}\right) = \ln(\sigma_\infty K_T) - \frac{E_C - E_T}{k_B T}$$

$E_C$  = energija vodljive vrpce

$E_T$  = energija defekta

$T$  = temperatura

$k_B = 8.617 \cdot 10^{-5} \text{ eV K}^{-1}$

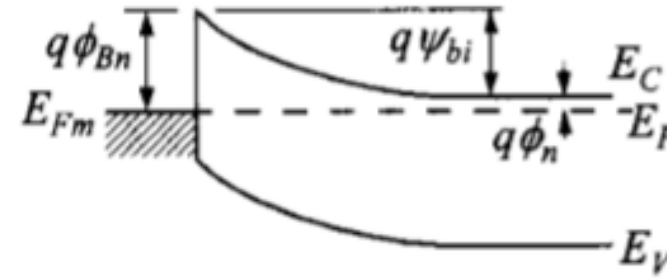
$$\sigma_n(T) = \sigma_\infty \exp\left(-\frac{\Delta E_\sigma}{k_B T}\right)$$

$$K_T = 3.625 \cdot 10^{21} \text{ cm}^{-2} \text{ s}^{-1} \text{ K}^{-2}$$

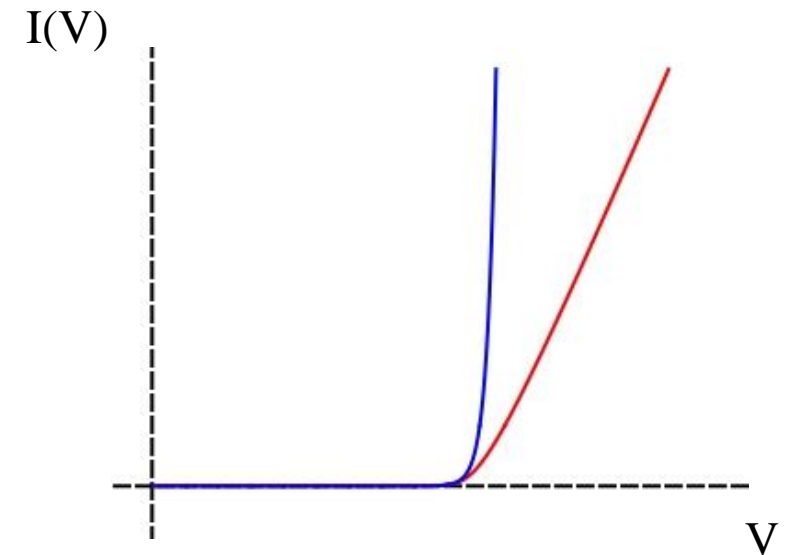


# Schottky dioda

- Spoj metala i poluvodiča
- Potencijalna barijera  $\Phi_{bi}$  (ili  $V_{bi}$ )



$$I(V) = I_S \left( \exp\left(q \frac{V - IR_S}{nk_B T}\right) - 1 \right)$$



$I$  = struja kroz diodu

$V$  = napon na krajevima diode

$$q = 1.6 \cdot 10^{-19} C$$

$I_s$  = struja saturacije

$n$  = faktor idealnosti diode

$R_S$  = serijski otpor diode

# Kapacitet diode

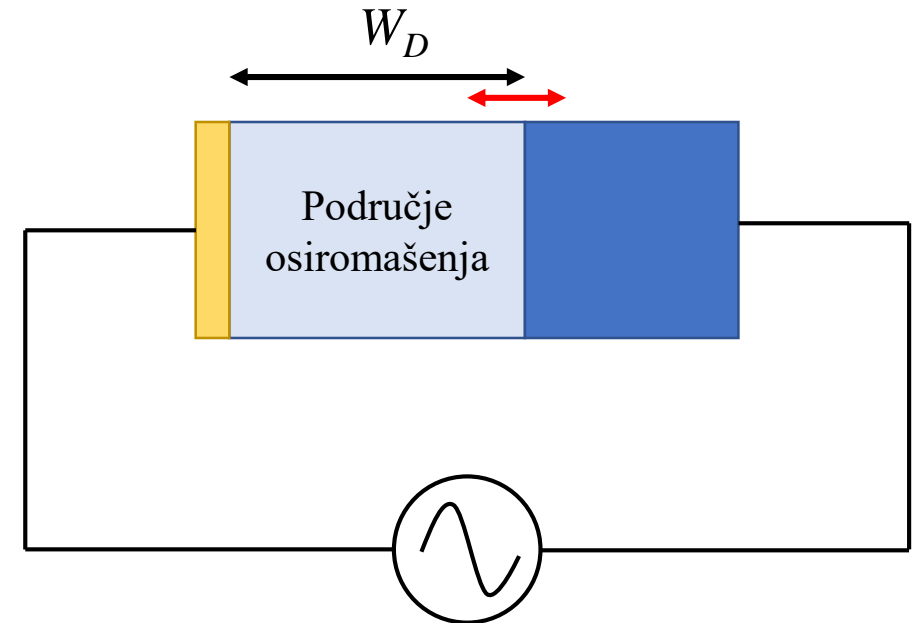
$$C(V) = \frac{dQ}{dV} = \frac{A\epsilon}{W_D(V)}$$

$$C(V) = A \sqrt{\frac{\epsilon}{2} \frac{qN}{V_{bi} - V}}$$

$A$  = površina diode

$\epsilon$  = električna permitivnost materijala

$N$  = koncentracija slobodnih nosioca naboja



# Tranzijentna spektroskopija (DLTS)

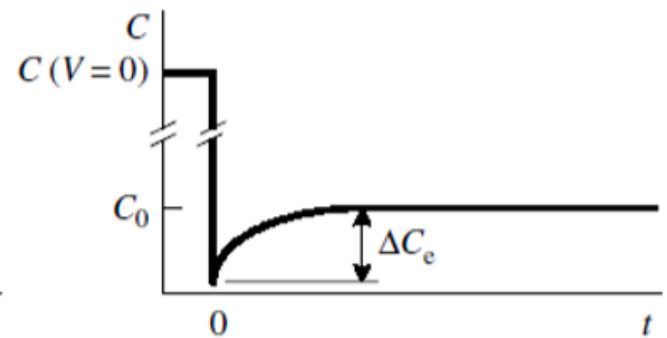
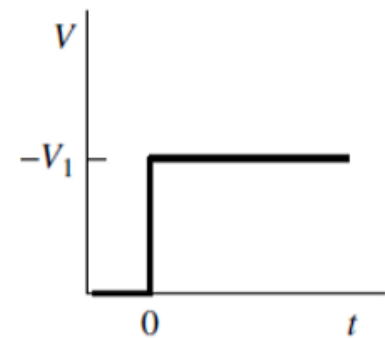
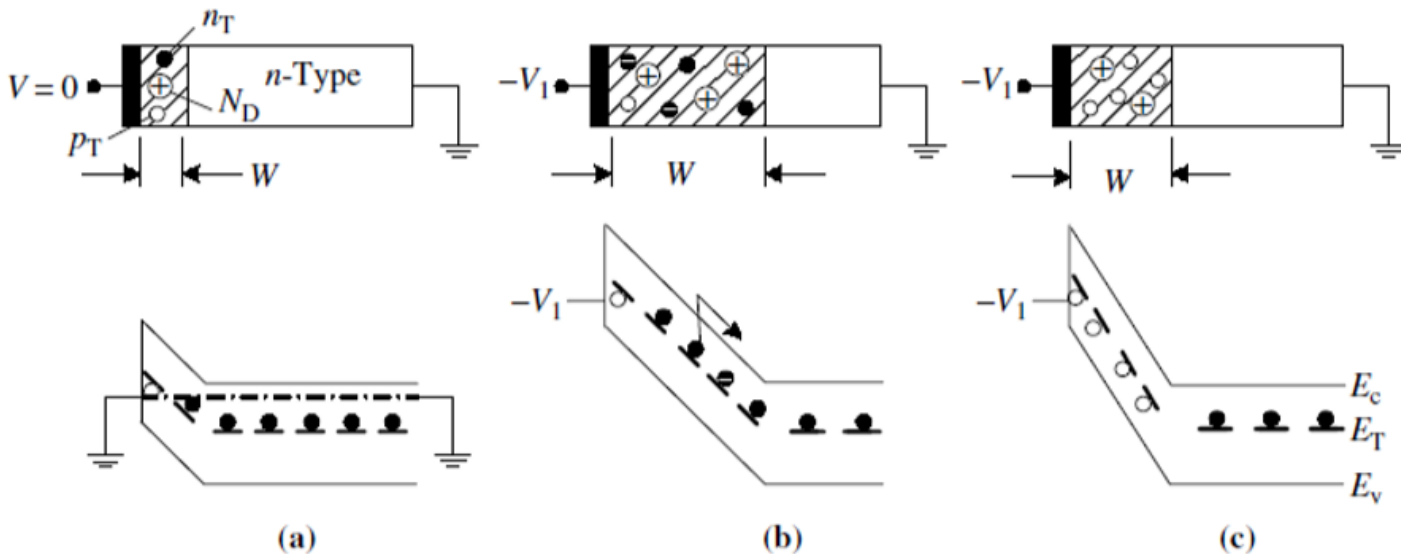
Koncentracija naboja

$$qN = q(N_D - n_T)$$

Kapacitet

$$C(t) = C_0 \left( 1 - \frac{n_T(t)}{2N_D} \right)$$

$$n_T \ll N$$

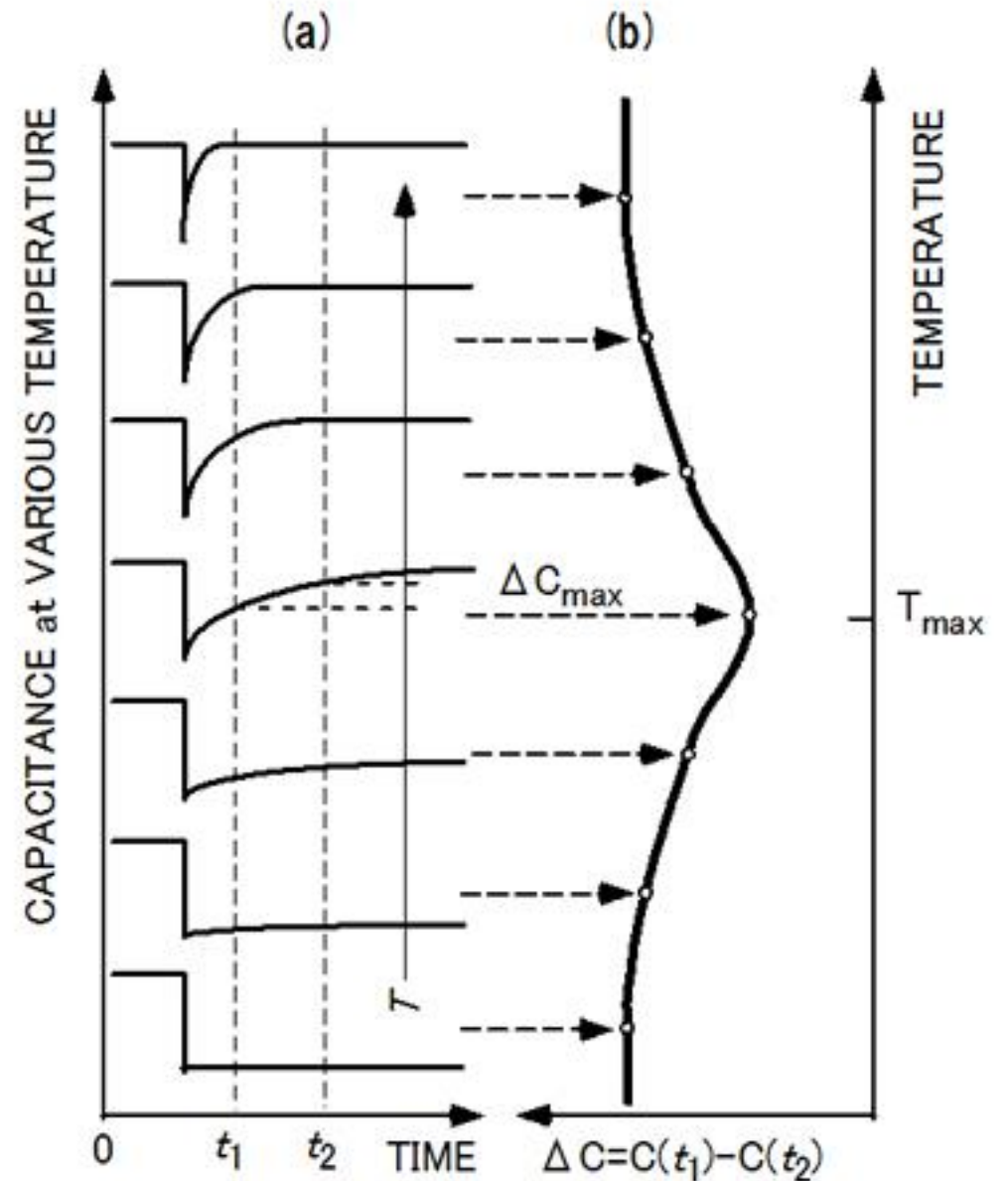


(d)

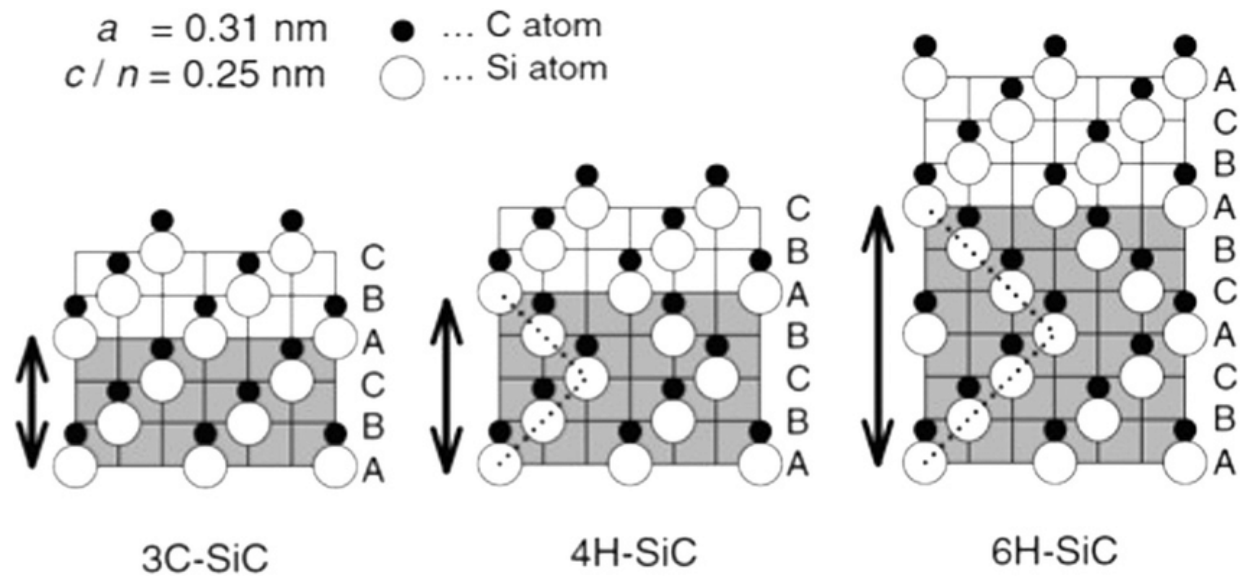
# Određivanje emisije

- Inverzni Laplace transformat
  - Numerička metoda
  - Zahtjeva nizak šum
- Vremenski prozor
  - Razlika vrijednosti kapaciteta u dvije fiksne vremenske točke

$$e_n(T_0) = \frac{\ln(t_2/t_1)}{t_2 - t_1}$$

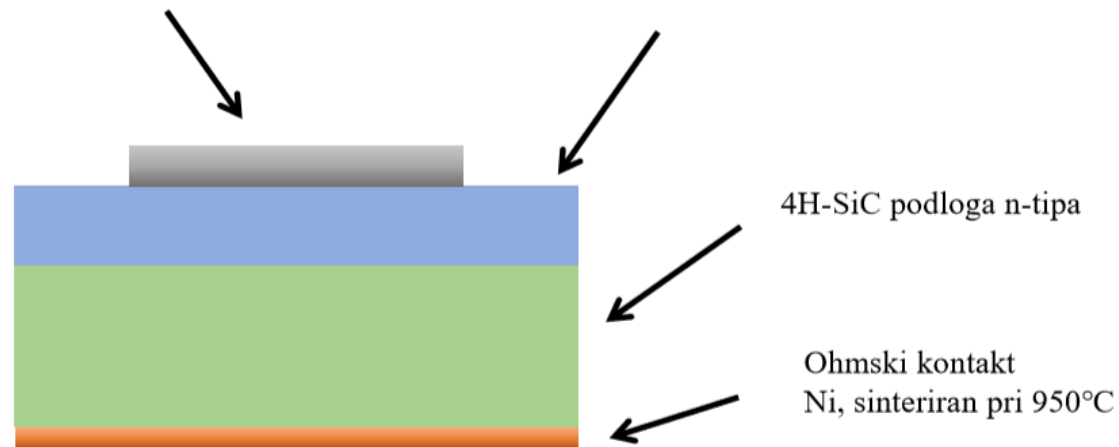


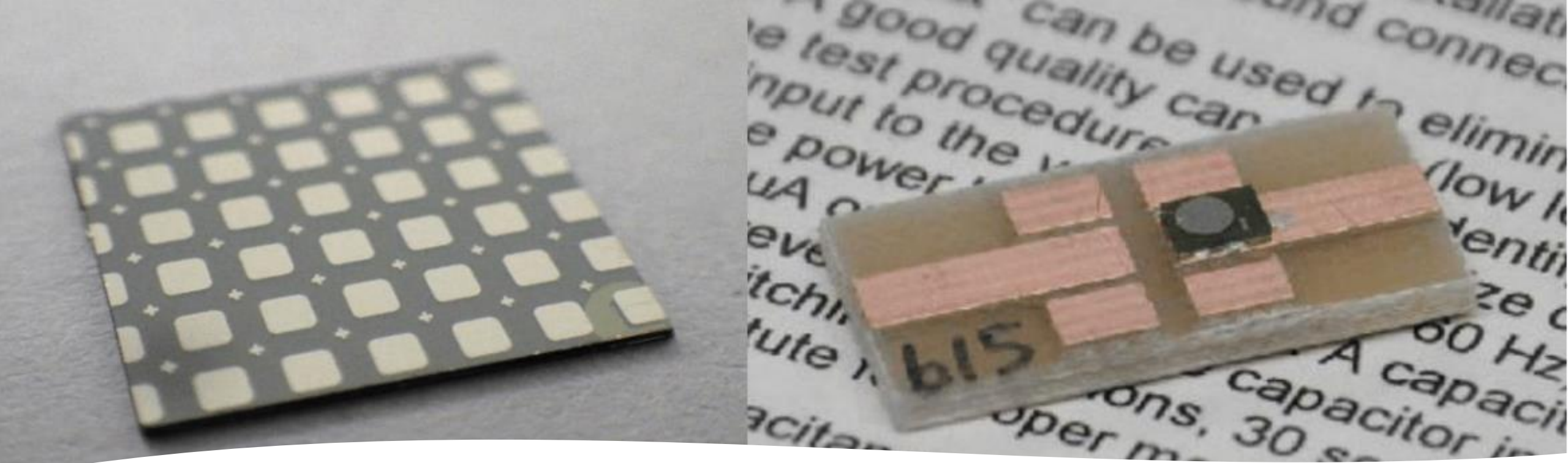
# Uzorci



Schottky kontakt  
Ni, 1mm x 1mm x 80nm

Epitaksijalni sloj n-tipa (dopiran dušikom  $5 \cdot 10^{14} \text{ cm}^{-3}$ )  
debljine  $47 \mu\text{m}$  (pristine i C) ili  $25 \mu\text{m}$  (He i O)

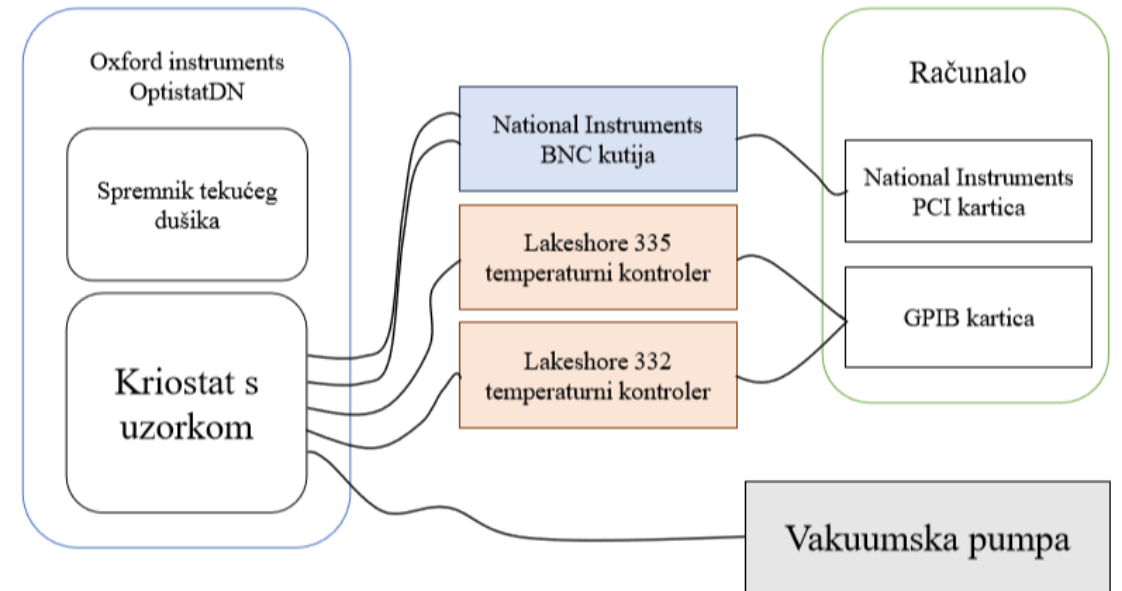
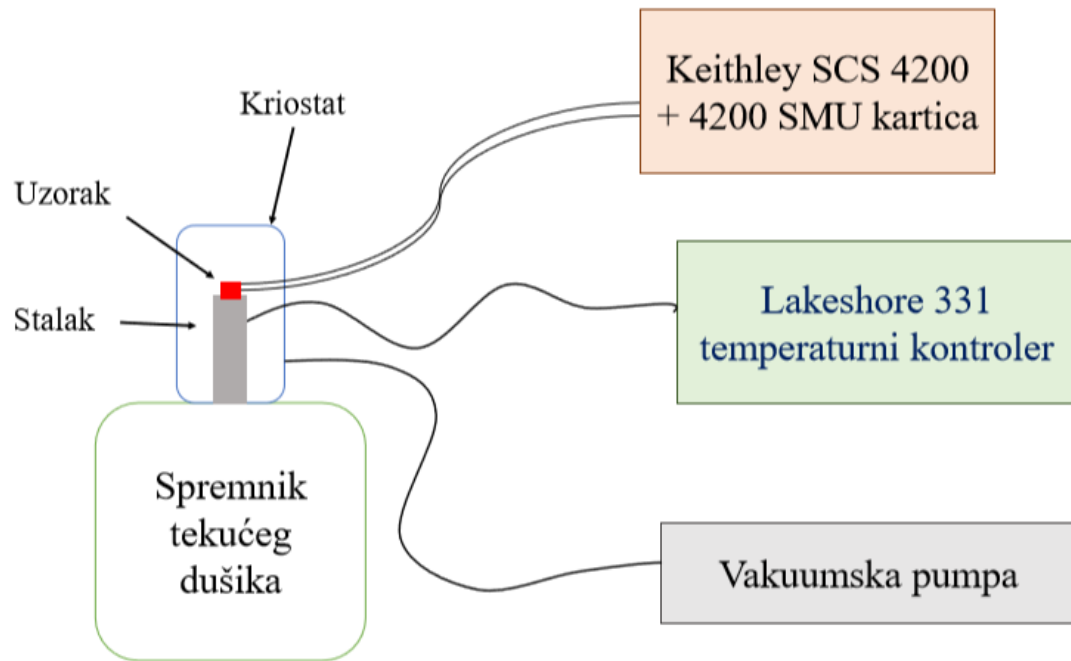




- CRIEPI
  - Central research institute of electric power industry, Japan
- ANSTO
  - Australian nuclear science and technology organisation

- Neozračeni
- Ozračeni ionima
  - 2MeV helij
  - 7.5MeV ugljik
  - 20MeV kisik

# Ekperimentalni postav



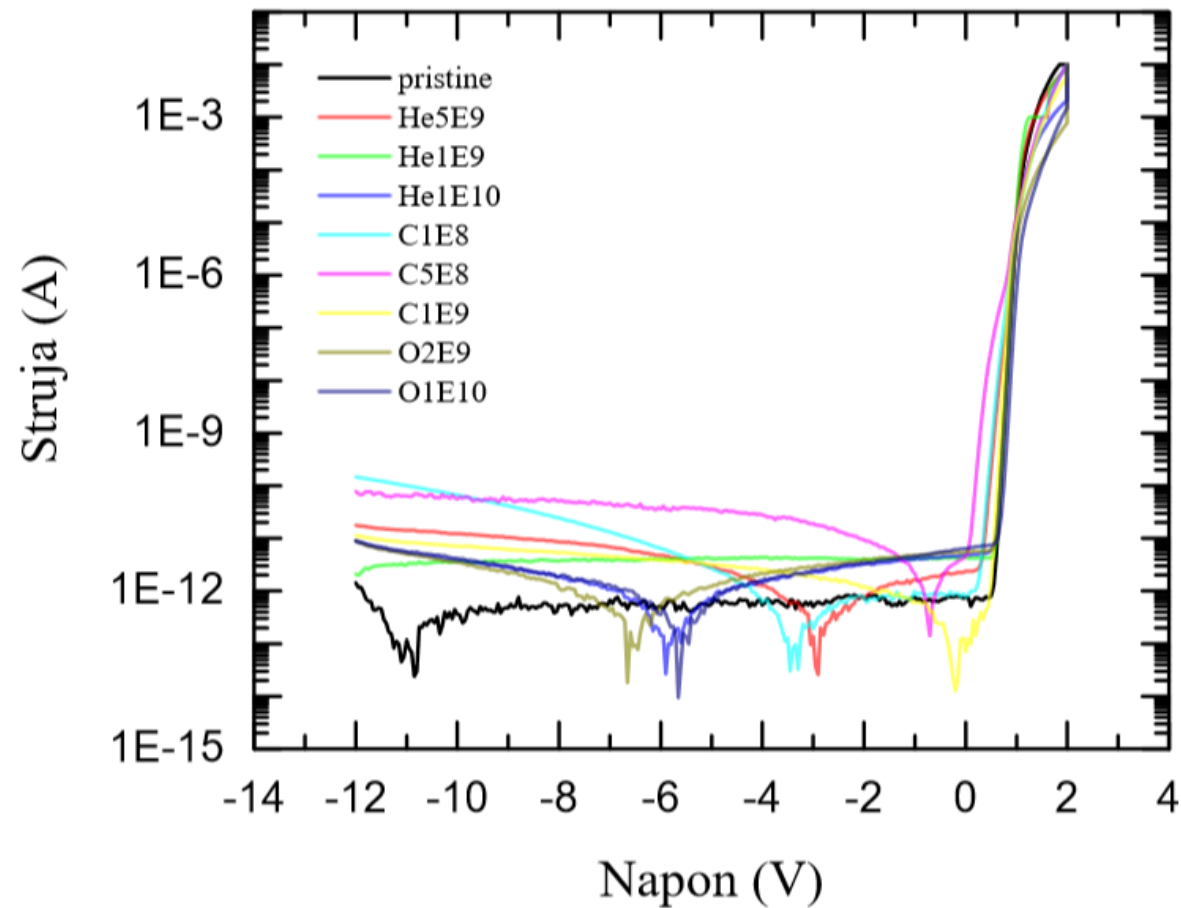


Rezultati



## Strujno-naponska karakteristika

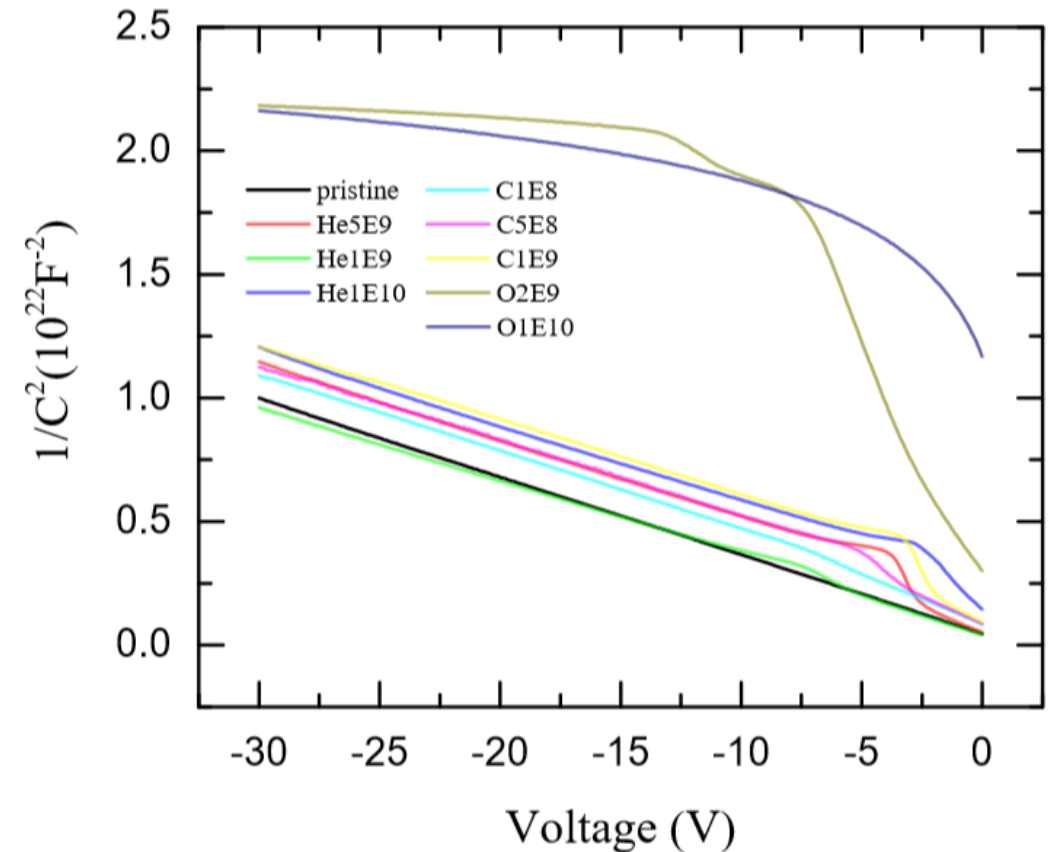
- Dobra karakteristika svih dioda
  - Otpornost na zračenje
- Niska reverzna struja
  - $< 1\text{pA}$
- Veće doze pokazuju veći serijski otpor
  - Određen Nordeovom metodom



# Kapacitivno-naponska karakteristika

- Neozračen uzorak posjeduje linearnu karakteristiku
- Ozračeni posjeduju „koljena“
  - Kompenzacija nosioca naboja
  - Izvan kompenzacije koncentracija naboja oko razine dopiranja  $5 \cdot 10^{14} \text{cm}^{-3}$

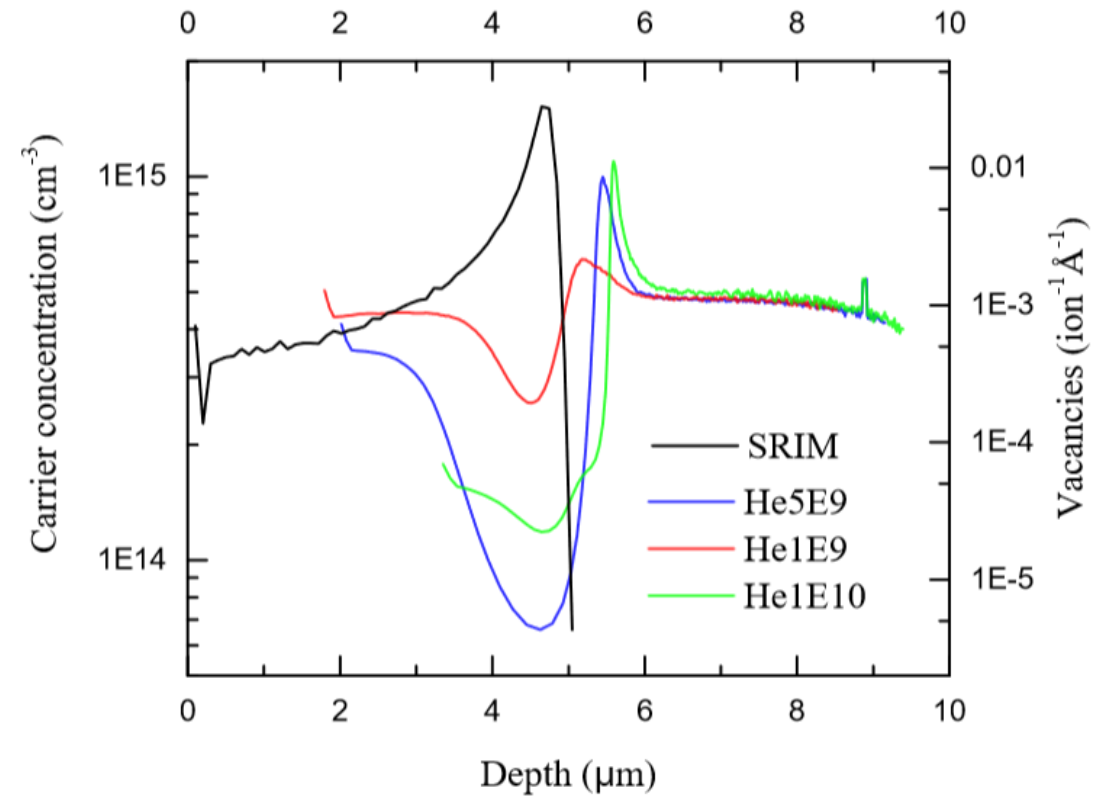
$$\frac{1}{C^2(V)} = \frac{2}{\epsilon A^2} \frac{V_{bi} - V}{qN}$$



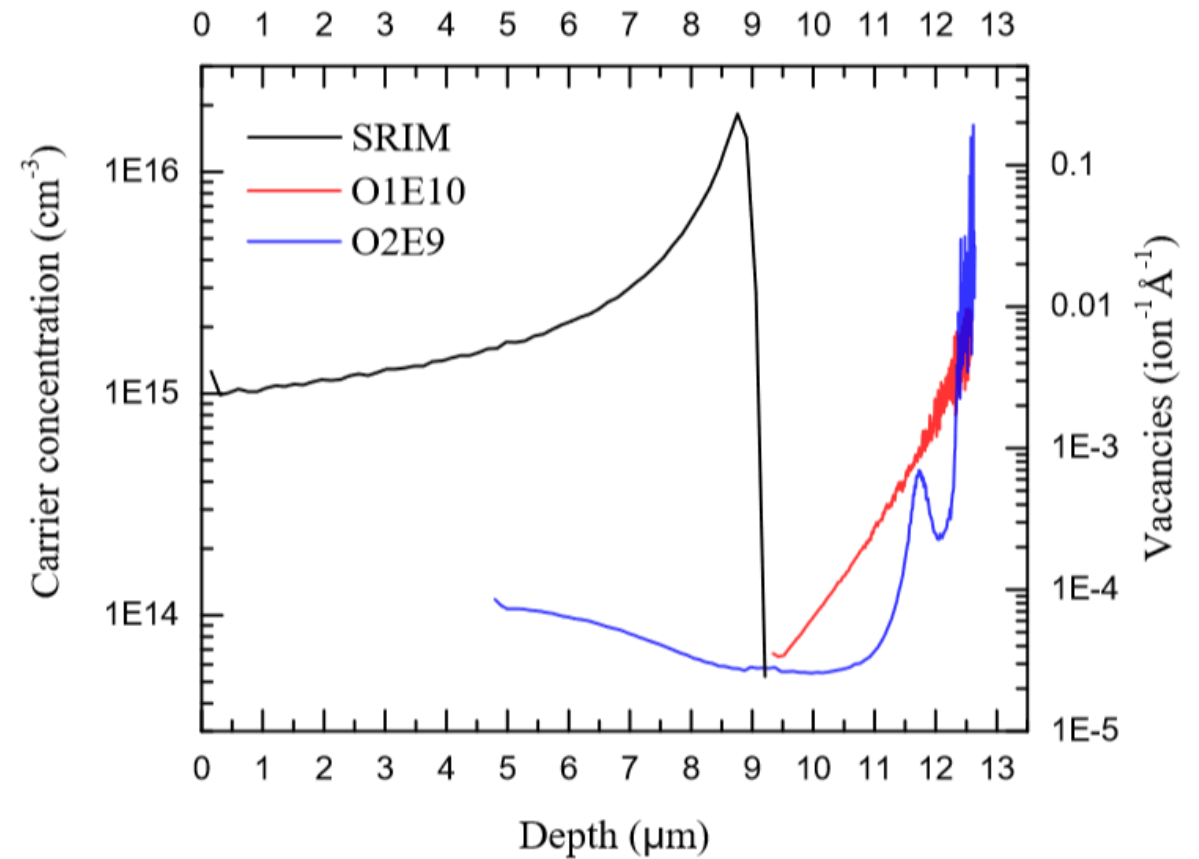
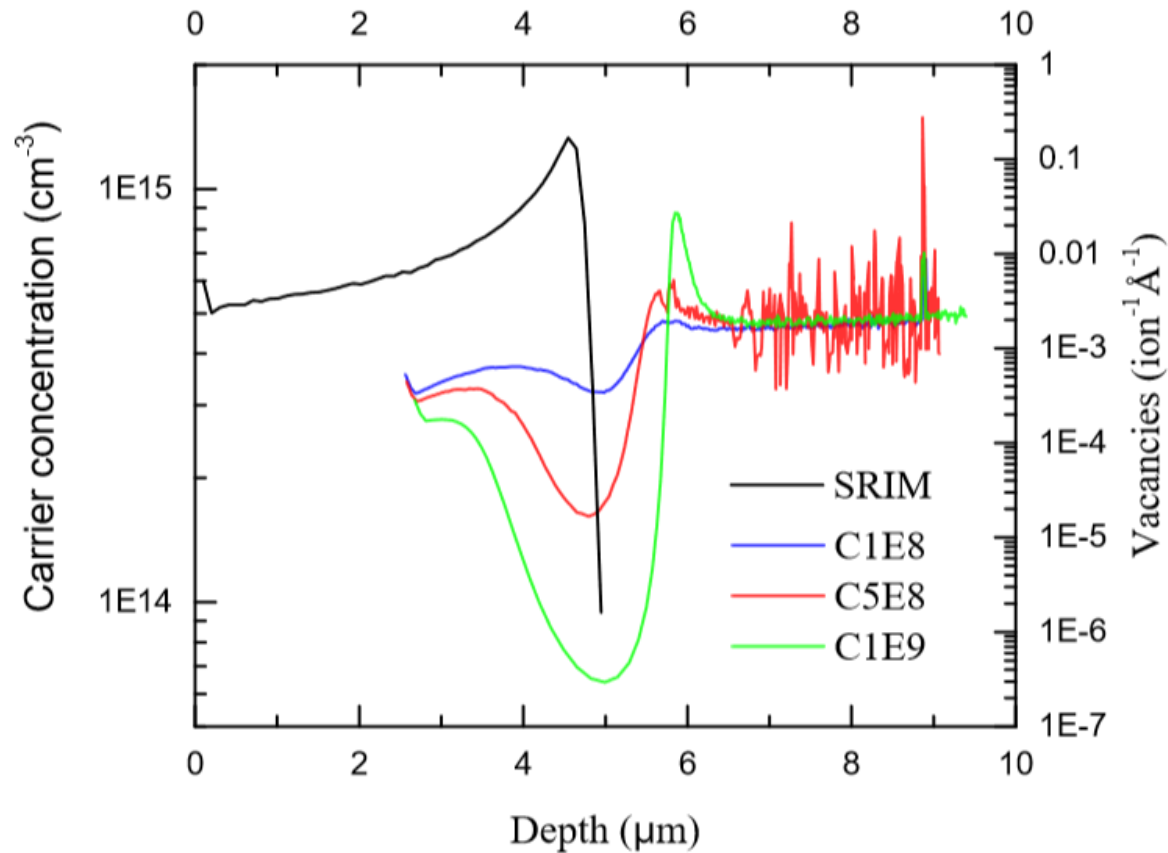
# Dubinski profil slobodnih nosioca naboja

- Predviđanje
  - SRIM (Transport of ions in matter)
  - Monte Carlo simulacije
- Eksperiment

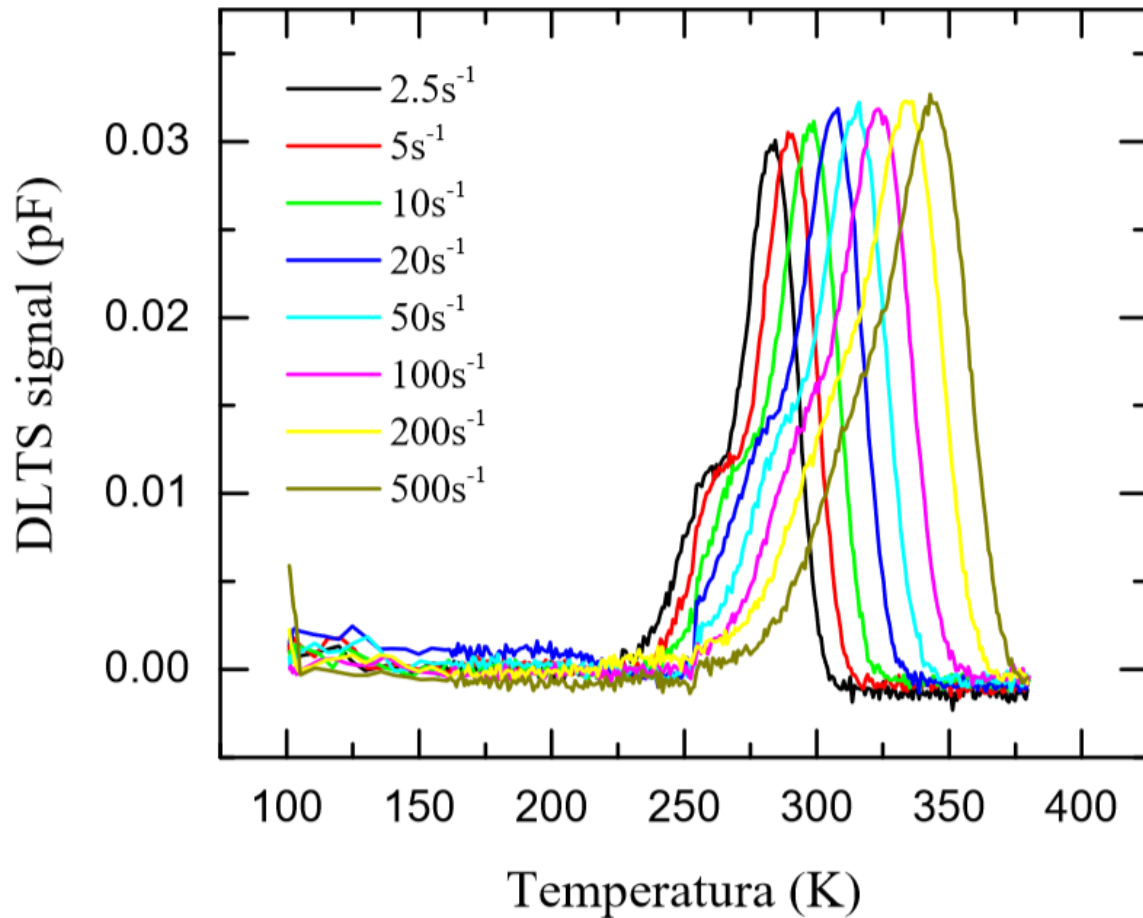
$$N(W) = \frac{2}{q\epsilon A^2} \left( \frac{d(1/C^2)}{dV} \right)^{-1}$$



# Dubinski profil slobodnih nosioca naboja

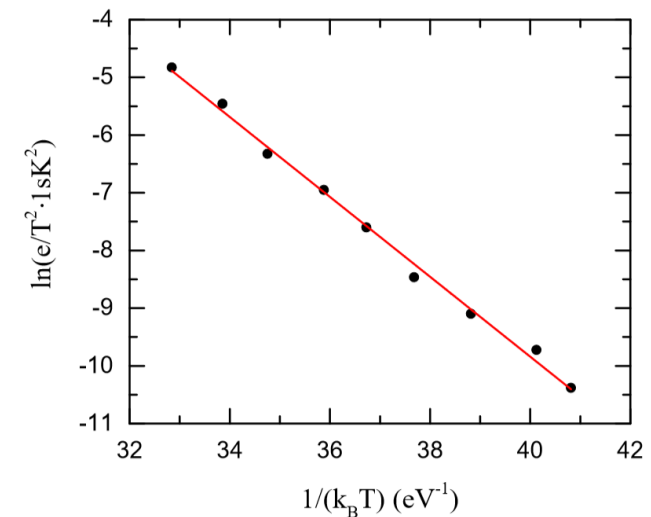


# Tranzijentna spektroskopija

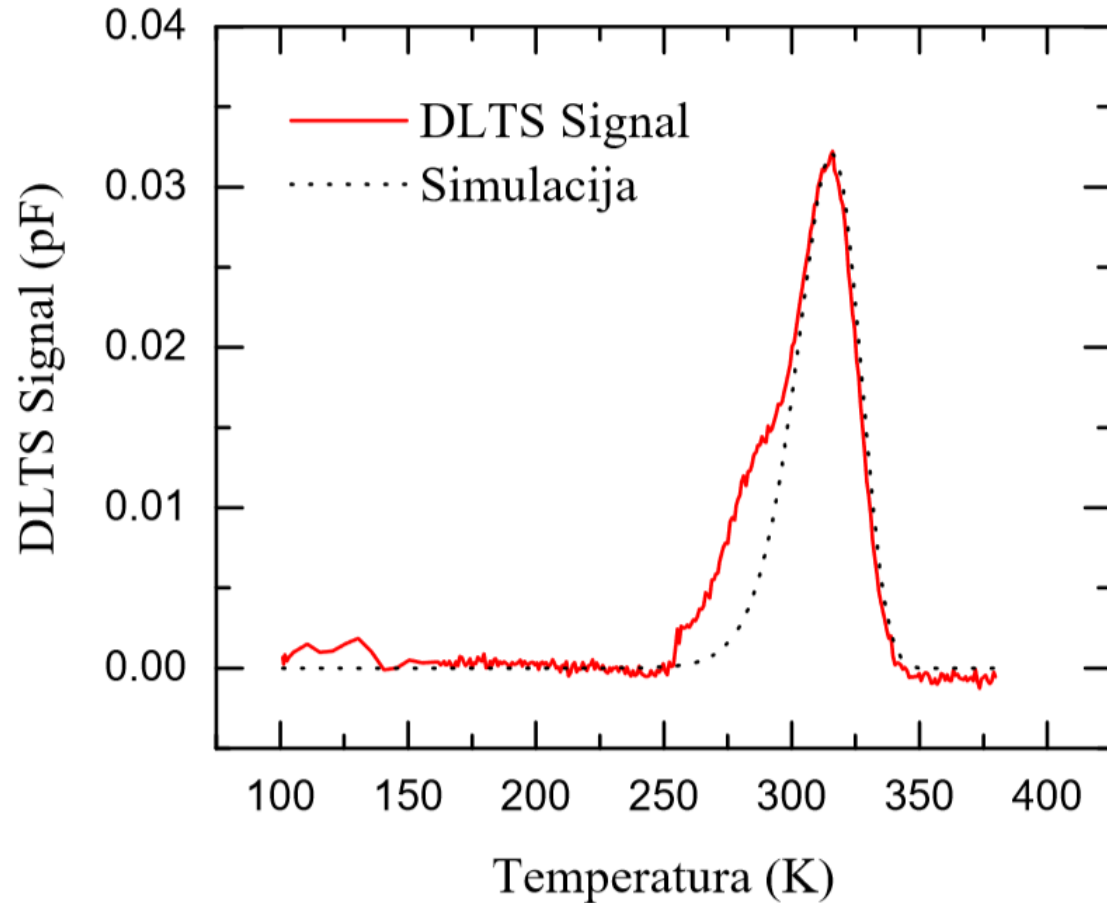


- Neozračen uzorak

- Uočen jedan duboki nivo energije 0.69 eV ispod vodljive vrpce
- Iz literature je poznat kao vakancija ugljika

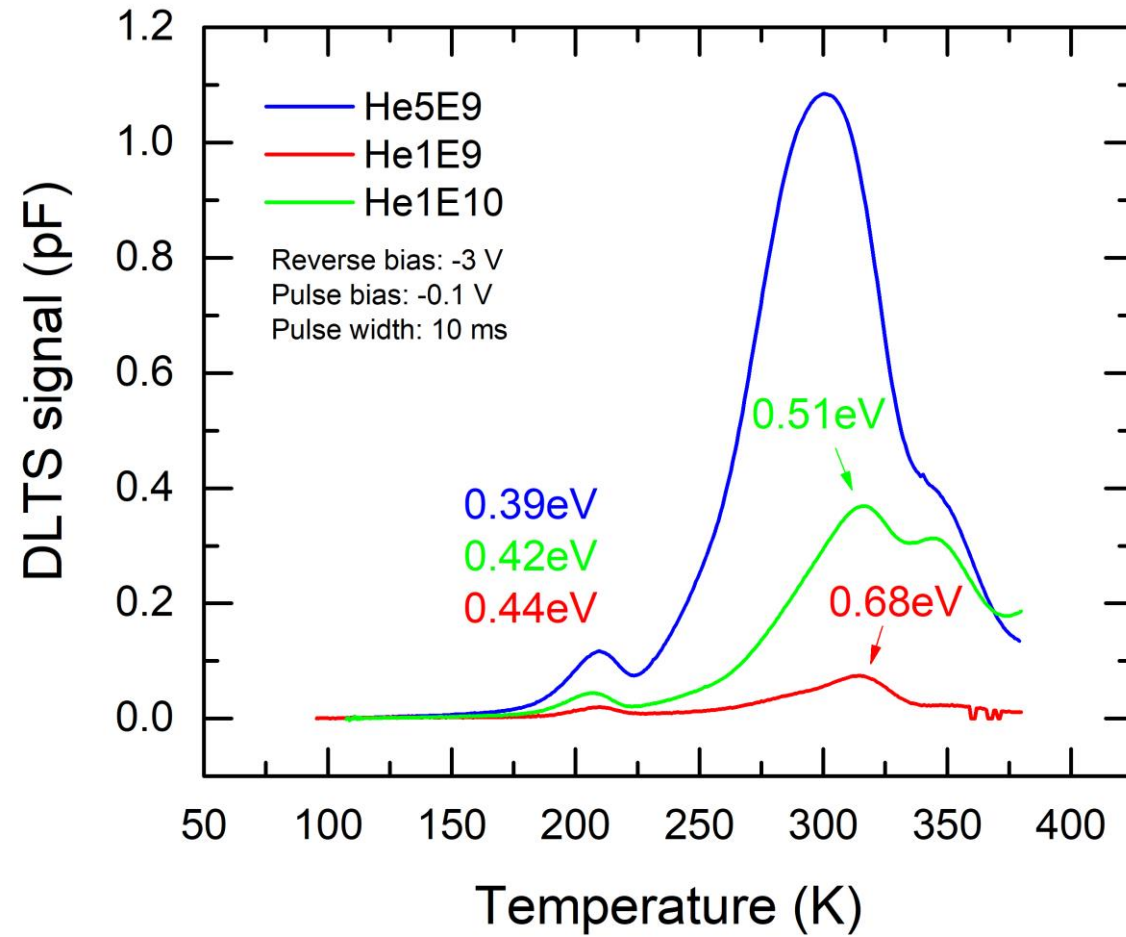


# Simulacija tranzijentne spektroskopije

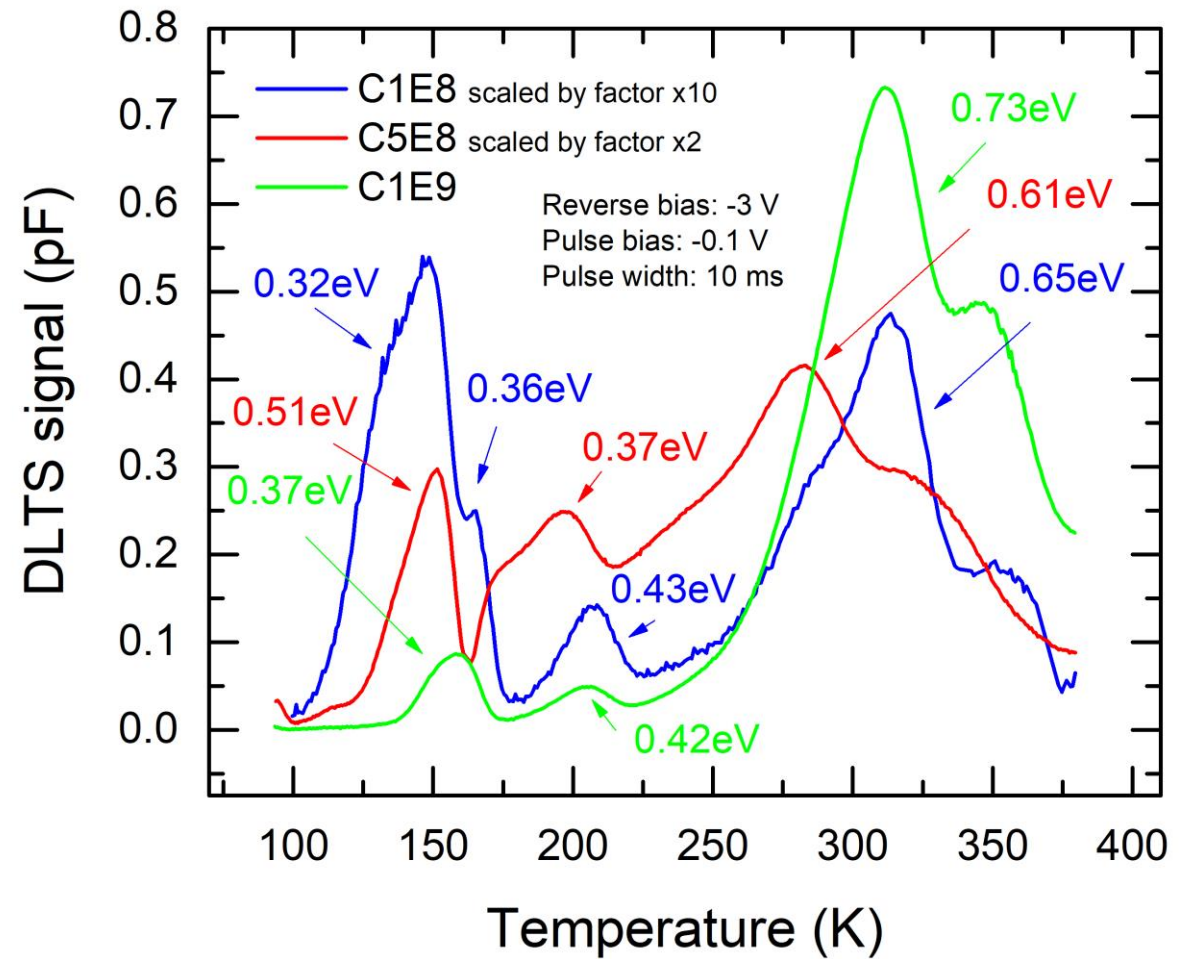


- Može se uočiti dobro poklapanje osim što je eksperimentalni vrh nešto širi
  - Uzrok su dva vrha sličnih energija u spektru
  - U literaturi određene energije 0.55eV i 0.69eV ispod vodljive vrpce
  - Isti defekt na različitim točkama kristalne rešetke

Uzorci  
ozračeni  
ionima helija  
energije  
2MeV

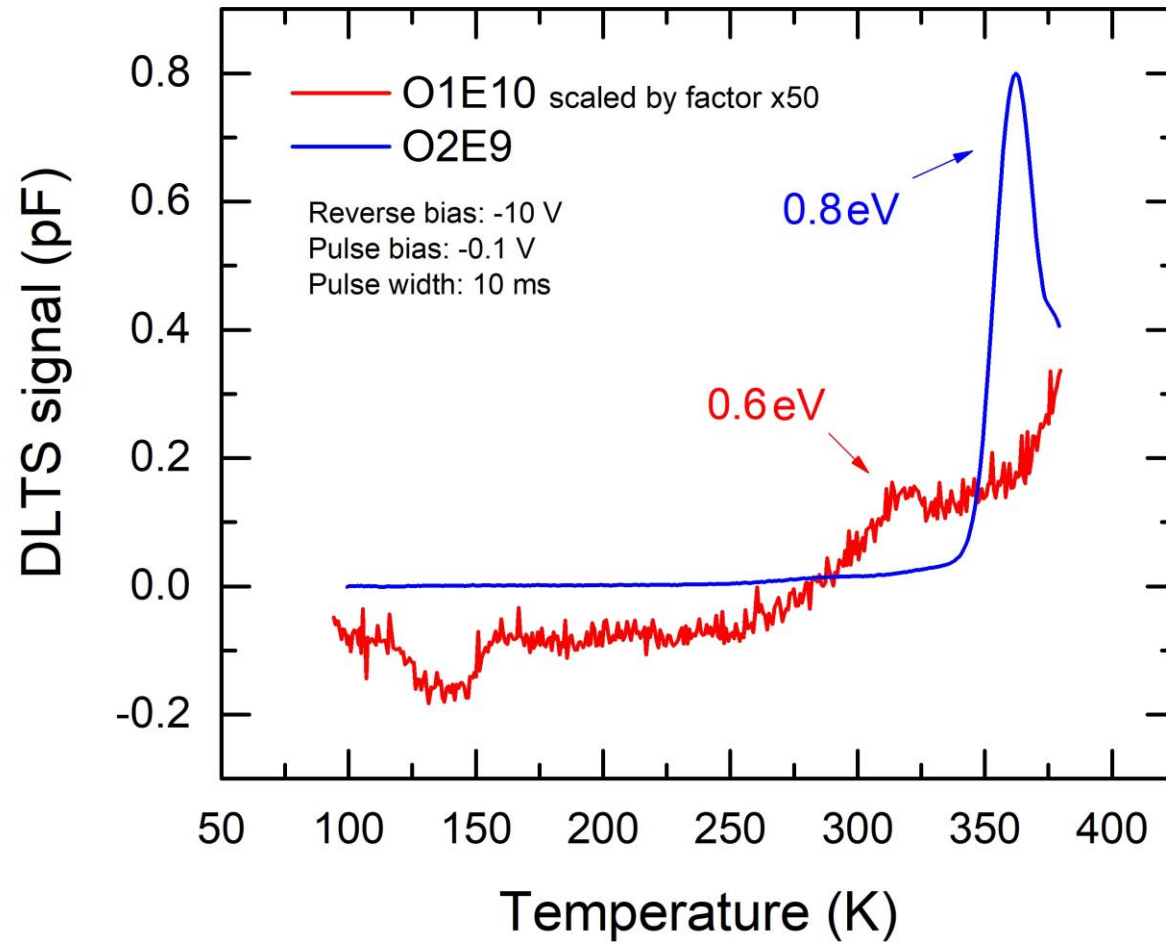


Uzorci  
ozračeni  
ionima ugljika  
energije  
7.5MeV





Uzorci  
ozračeni  
ionima kisika  
energije  
20MeV





# Zaključak

- Proučena je osnovna karakterizacija poluvodičkih dioda
  - I-V, C-V karakteristike
  - Dolazi do kompenzacije naboja u slaganju s teorijom
  - Silicij karbid pokazuje dobru otpornost na zračenje
- Karakterizirani su duboki nivoi uneseni zračenjem
  - Riječ je o intrinzičnim defektima
  - Tri nivoa su poznata iz literatura, a uočena su i tri nova (nepoznata porijekla)



Hvala

# Dodatak

- Literatura
- Malo detalja oko fizike poluvodiča i dioda
- Primjer određivanja serijskog otpora diode
- Tablica doza ozračenih uzoraka
- Tablica strujnih karakteristika
- Tablica svih analiziranih dubokih nivoa
- Tablica vremenskih prozora
- Ovisnost koncentracije dubokog nivoa o dozi zračenja
- Propusno polarizirane strujne karakteristike
- Ovisnost širine područja osiromašenja o reverznom naponu

# Literatura

- <http://info.ifpan.edu.pl/Dodatki/WordPress/laplacedlts/>
- J. B. Casady, R. W. Johnson, Solid State Electron 39, 1409 (1996)
- D. K. Schroder, Semiconductor material and device characterization, 3rd ed. (John Wiley & sons, INC., 2006)
- S.M. Sze, Physics of Semiconductor Devices, 3rd ed. (John Wiley & sons, INC., 2006)
- L. G. et al., Materials Science-Poland 23 (2005)
- A.R .Peaker, V.P. Markevich, J. Coutinho, Journal of Applied Physics 123, 161559 (2018)
- L. Romano, V. Privitera, C. Jagadish, Defects in Semiconductors (Semiconductors and Semimetals), 1st ed., Vol. 91 (Academic Press, 2015)
- Capan et al, Journal of Applied Physics 124, 245701 (2018)
- Ž. Pastuović, Journal of Physics: Condensed Matter 29, 475701 (2017)
- B. Zippelius, J. Suda, T. Kimoto, Journal of Applied Physics 111, 033515 (2012)

# Formule

$$e_n n_T = c_n (N_T - n_T)$$

$$e_n(T) = \sigma_n(T) \langle v_n \rangle (T) \frac{g_0}{g_1} N_c(T) \exp\left(-\frac{E_c - E_T}{k_B T}\right)$$

$$c_n = n \sigma_n \langle v_n \rangle$$

$$N_c = 2 \left( \frac{2\pi m k_B T}{h^2} \right)^{3/2}$$

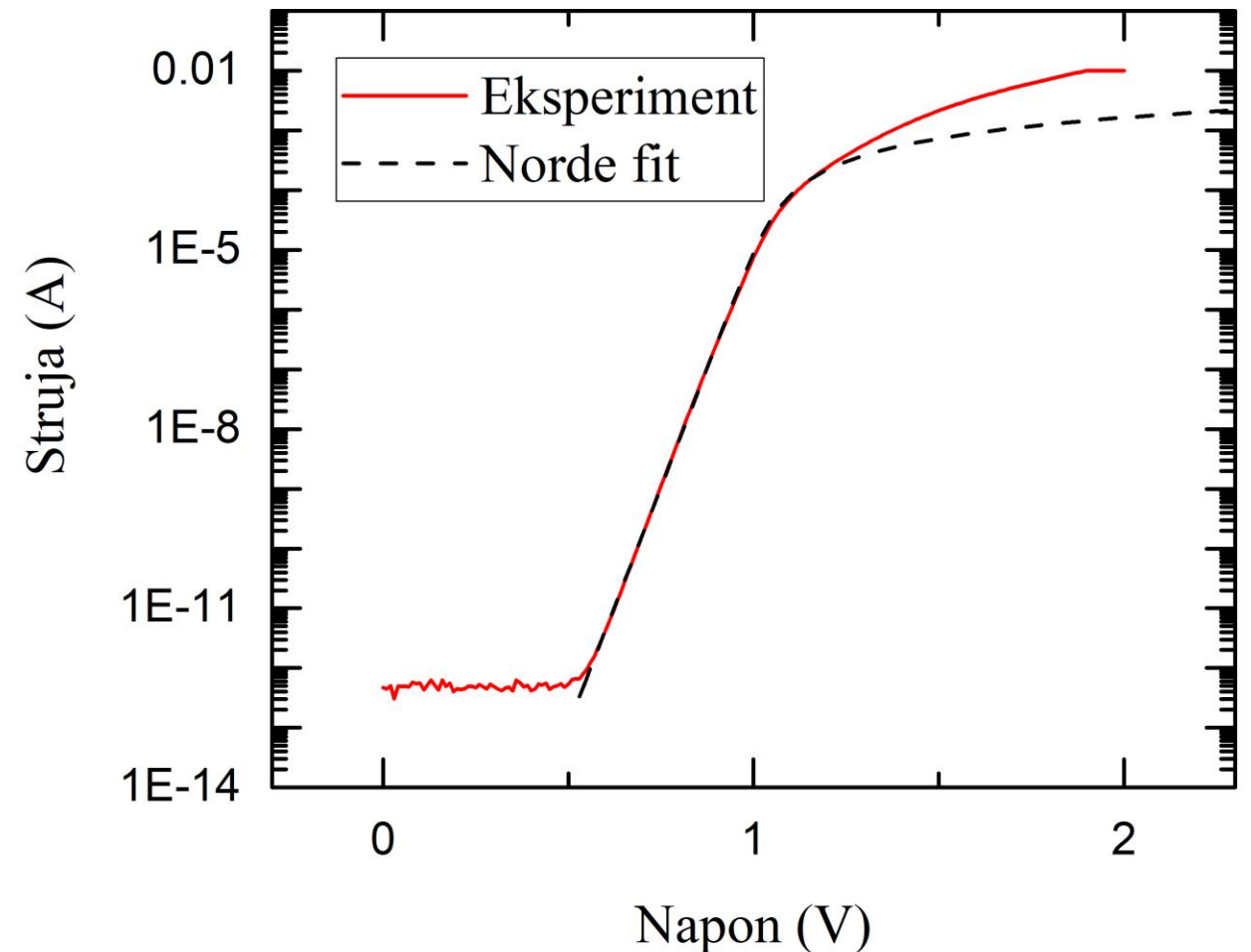
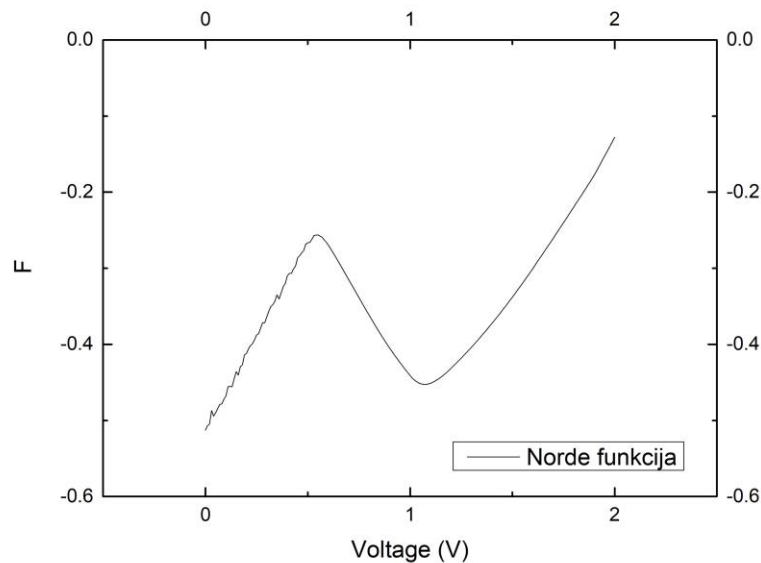
$$\langle v_n \rangle = \sqrt{\frac{3k_B T}{m^*}}$$

$$W_D = \sqrt{\frac{2\epsilon}{qN} \left( V_{bi} - V - \frac{k_B T}{q} \right)}$$

# Norde metoda određivanja serijskog otpora

$$F = \frac{V}{2} - \frac{kT}{q} \ln\left(\frac{I}{I_S}\right)$$

$$R_S = \frac{2-n}{I_{min}} \frac{kT}{q}$$





# Tablica doza ozračenih uzoraka

Uzorak	Ion	Energija iona	Doza iona
He5E9	He	$2MeV$	$5 \cdot 10^9 cm^{-3}$
He1E9	He	$2MeV$	$1 \cdot 10^9 cm^{-3}$
He5E10	He	$2MeV$	$1 \cdot 10^{10} cm^{-3}$
C1E8	C	$7.5MeV$	$1 \cdot 10^8 cm^{-3}$
C5E8	C	$7.5MeV$	$5 \cdot 10^8 cm^{-3}$
C1E9	C	$7.5MeV$	$1 \cdot 10^9 cm^{-3}$
O2E9	O	$20MeV$	$2 \cdot 10^9 cm^{-3}$
O1E10	O	$20MeV$	$1 \cdot 10^{10} cm^{-3}$

# Tablica strujnih karakteristika dioda

Uzorak	Struja saturacije	Faktor idealnosti	Serijski otpor
pristine	$(1.2 \pm 0.1) \cdot 10^{-21}$	$1.055 \pm 0.003$	$500\Omega$
He5E9	$(4.6 \pm 0.1) \cdot 10^{-17}$	$1.501 \pm 0.003$	$200\Omega$
He1E9	$(5.0 \pm 0.1) \cdot 10^{-22}$	$1.012 \pm 0.001$	$160\Omega$
He1E10	$(5.3 \pm 0.2) \cdot 10^{-22}$	$1.023 \pm 0.001$	$400\Omega$
C1E8	$(1.16 \pm 0.06) \cdot 10^{-17}$	$1.484 \pm 0.006$	$5k\Omega$
C5E8	$(7.1 \pm 0.2) \cdot 10^{-14}$	$1.617 \pm 0.009$	$4M\Omega$
C1E9	$(5.1 \pm 0.2) \cdot 10^{-21}$	$1.013 \pm 0.002$	$8k\Omega$
O2E9	$(8.08 \pm 0.5) \cdot 10^{-22}$	$1.031 \pm 0.002$	$10k\Omega$
O1E10	$(1.4 \pm 0.2) \cdot 10^{-22}$	$1.073 \pm 0.004$	$8k\Omega$

# Tablica svih analiziranih dubokih nivoa

	pristine	He5E9	He1E9	He1E10	C1E8	C5E8	C1E9
$Z_{1/2}$	$(0.69 \pm 0.02)eV$	$(0.8 \pm 0.1)eV$	$(0.68 \pm 0.01)eV$	$(0.51 \pm 0.04)eV$	$(0.65 \pm 0.01)eV$	*	$(0.73 \pm 0.01)eV$
	$10^{-14} cm^2$	$10^{-11} cm^2$	$10^{-14} cm^2$	$10^{-17} cm^2$	$10^{-15} cm^2$	*	$10^{-15} cm^2$
$EH1$	—	$(0.39 \pm 0.01)eV$	$(0.44 \pm 0.01)eV$	$(0.42 \pm 0.01)eV$	$(0.43 \pm 0.01)eV$	$(0.39 \pm 0.02)eV$	$(0.42 \pm 0.01)eV$
	—	$10^{-15} cm^2$	$10^{-14} cm^2$	$10^{-15} cm^2$	$10^{-14} cm^2$	$10^{-14} cm^2$	$10^{-14} cm^2$
$EH3$	—	*	*	*	*	*	$(0.81 \pm 0.06)eV$
	—	*	*	*	*	*	$10^{-14} cm^2$
$T1$	—	—	—	—	$(0.37 \pm 0.04)eV$	$(0.4 \pm 0.03)eV$	$(0.37 \pm 0.02)eV$
	—	—	—	—	$10^{-12} cm^2$	$10^{-9} cm^2$	$10^{-13} cm^2$
$T2$	—	—	—	—	$(0.37 \pm 0.01)eV$	$(0.5 \pm 0.3)eV$	*
	—	—	—	—	$10^{-13} cm^2$	$10^{-9} cm^2$	*
$T3$	—	—	—	—	*	$(0.62 \pm 0.3)eV$	*
	—	—	—	—	*	$10^{-14} cm^2$	*

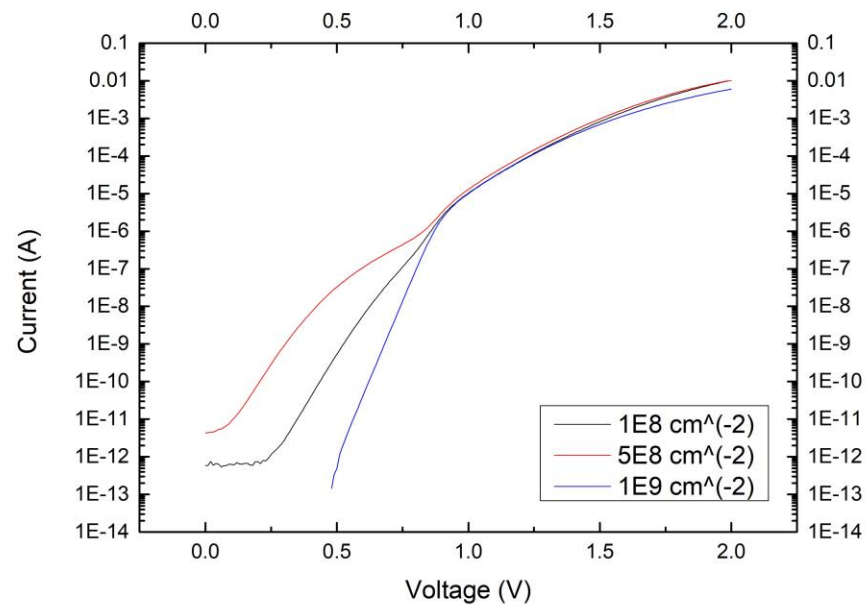
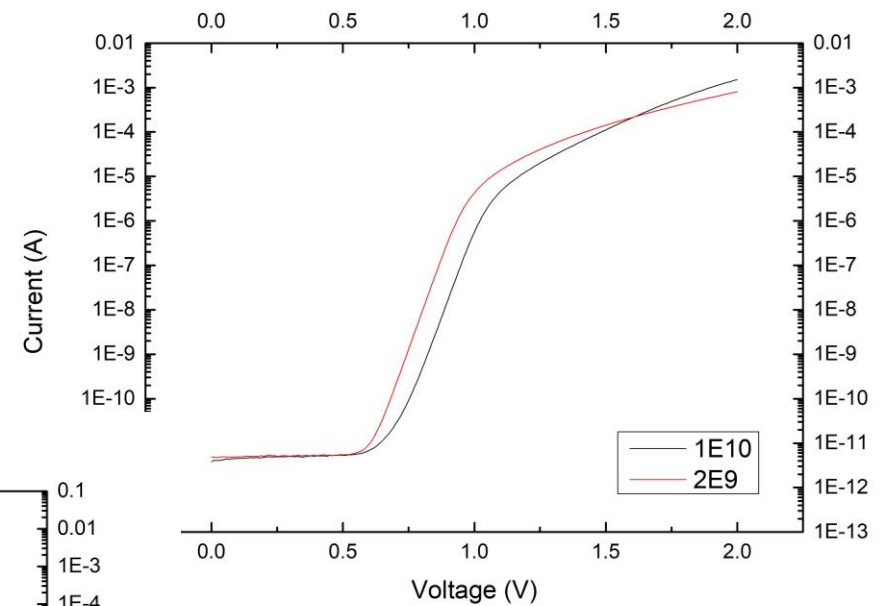
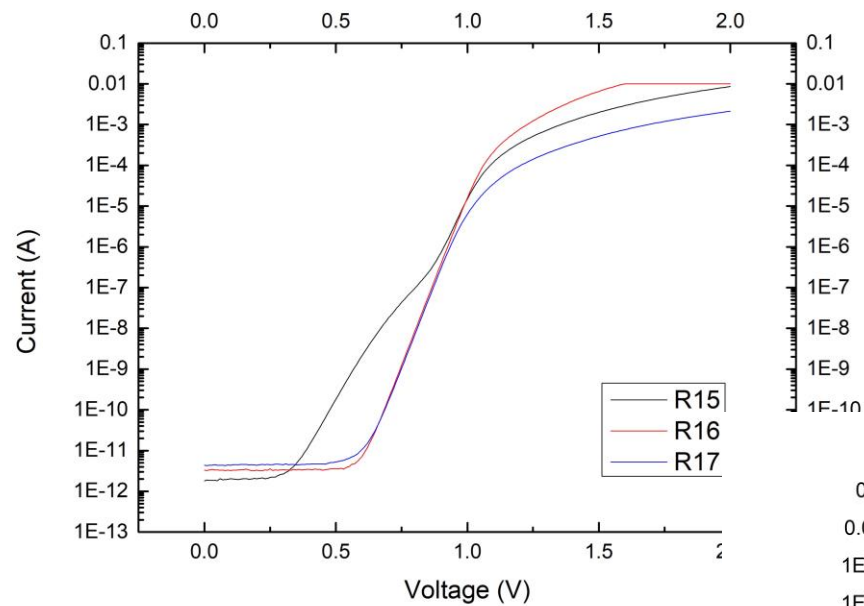
# Tablica vremenskih prozora

emisije ( $s^{-1}$ )	$t_1(ms)$	$t_2(ms)$
2.5	244	611
5	122	305
10	61.1	153
20	3.05	76.4
50	12.2	30.5
100	6.11	15.3
200	3.05	7.64
500	1.22	3.05

# Ovisnost koncentracije dubokog nivoa o dozi zračenja

Uzorak	$N_T(Z_{1/2})$	$N_T(EH1)$
pristine	$2 \cdot 10^{12} \text{ cm}^{-3}$	—
He5E9	$8 \cdot 10^{13} \text{ cm}^{-3}$	$1 \cdot 10^{13} \text{ cm}^{-3}$
He1E9	$5 \cdot 10^{12} \text{ cm}^{-3}$	$1 \cdot 10^{12} \text{ cm}^{-3}$
He1E10	$3 \cdot 10^{13} \text{ cm}^{-3}$	$4 \cdot 10^{12} \text{ cm}^{-3}$

# Propusno polarizirane strujne karakteristike



# Ovisnost širine područja osiromašenja o reverznom naponu

